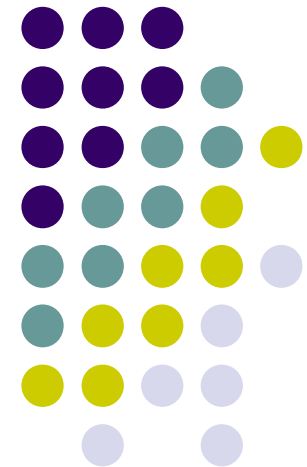


# Distributed multi-agent architecture for redundant robots applied to humanoïd

Philippe Lucidarme

[philippe.lucidarme@univ-angers.fr](mailto:philippe.lucidarme@univ-angers.fr)

LISA - Université d'Angers



# Contexte

---



- Architecture distribuée
- Robots sériels redondants
  - Tolérant aux pannes
  - Extraction des minimums locaux
- Application aux robots humanoïdes
- Multi objectifs
  - Ralliement de cible
  - Stabilité statique

# Etat de l'art (SMA)

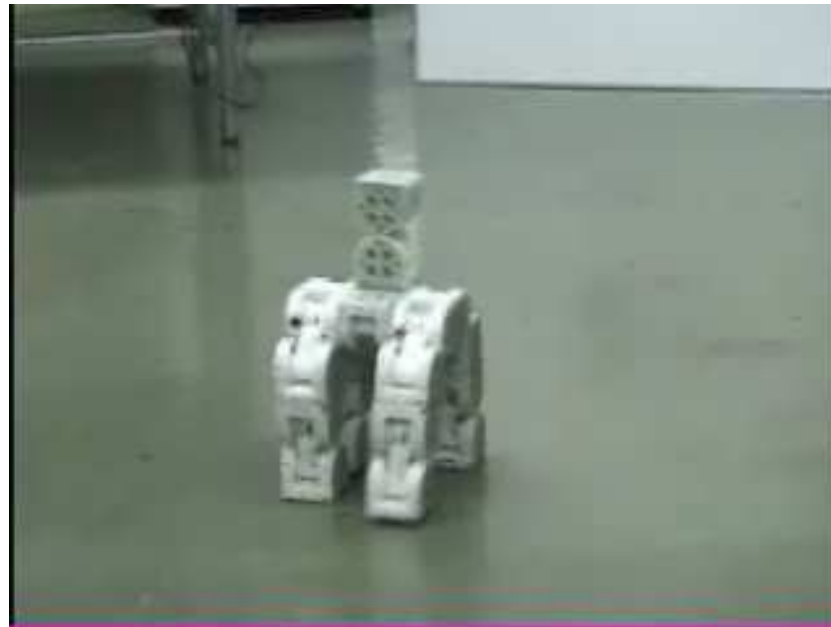
---



- 80's : Intelligence artificielle distribuée (Ethologie) [R. Brooks]
- 90's : Travail coopératifs et le contrôle de formations de robots mobiles [R. Arkin, L.E. Parker, A. Drogoul et J. Ferber]
- 00's : Applications aux robots redondants / humanoïdes [K. Ning, T. Xu-yan et T. Tao]
- 00's : Applications aux robots reconfigurables [M. Moll, P. Will, M. Krivokon et W-M. Shen]

# Robotique reconfigurable

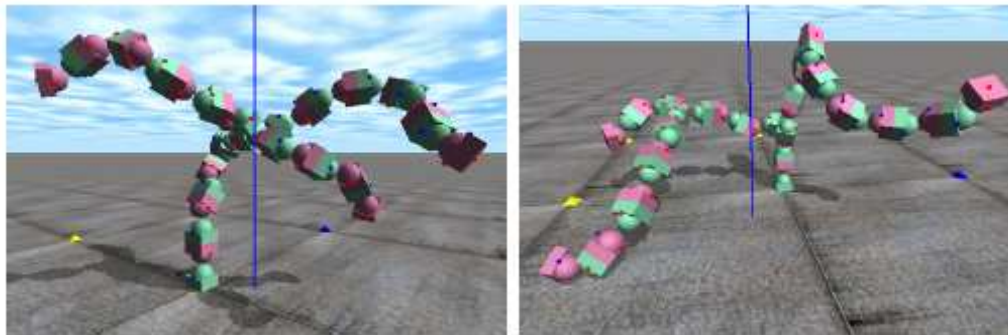
---



Video from the National Institute of Advanced Industrial Science and Technology (AIST, Japan)  
[A. Kamimura, S. Murata, E. Yoshida, H. Kurokawa, K. Tomita and S. Kokaji]

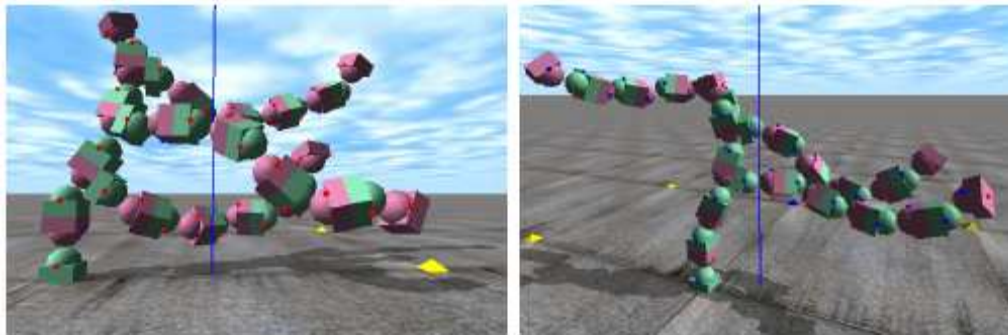
# Control of the CoM of a modular robot

[Mark Moll and al. 2005]



(a)

(b)



(c)

(d)

---

## Algorithm 1 UpdateMass

---

```

1: while true do
2:   clear update flags for all connectors
3:   while  $\neg$ inbox.empty() do      ▷ process all incoming
4:     msg = inbox.pop()              ▷ messages
5:     connectorMass[msg.destination] = msg.mass
6:     mark other connectors for update
7:   end while
8:
9:   RecomputeMass()
10:
11:  for  $i = 1 \dots n$  do              ▷ update neighbors
12:    if connectorMass[ $i$ ] is marked for update then
13:      send connector  $i$  (mass – connectorMass[ $i$ ])
14:    end if
15:  end for
16: end while

```

---

## Algorithm 2 RecomputeMass()

---

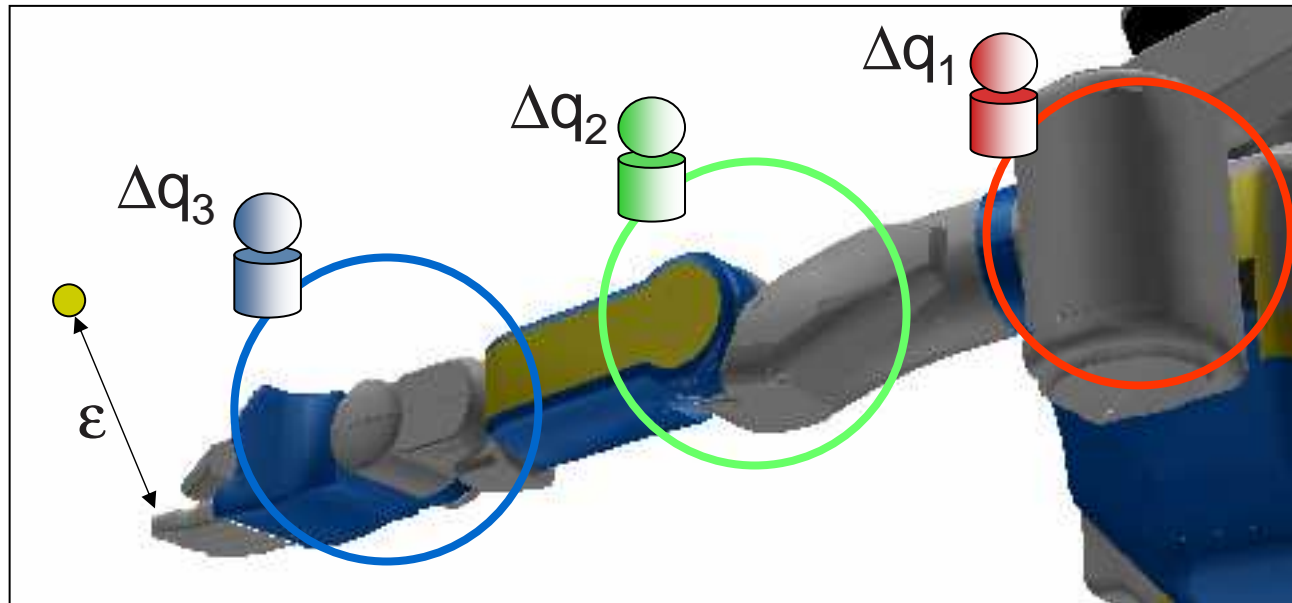
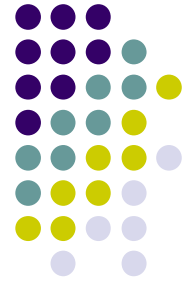
```

1: recompute moduleMass ▷ the mass properties of just this
   ▷ module
2: if moduleMass has changed then
3:   mark all connectors for update
4: end if
5: mass = moduleMass
6: for  $i = 1 \dots n$  do
7:   mass = mass + connectorMass[ $i$ ]
8: end for

```

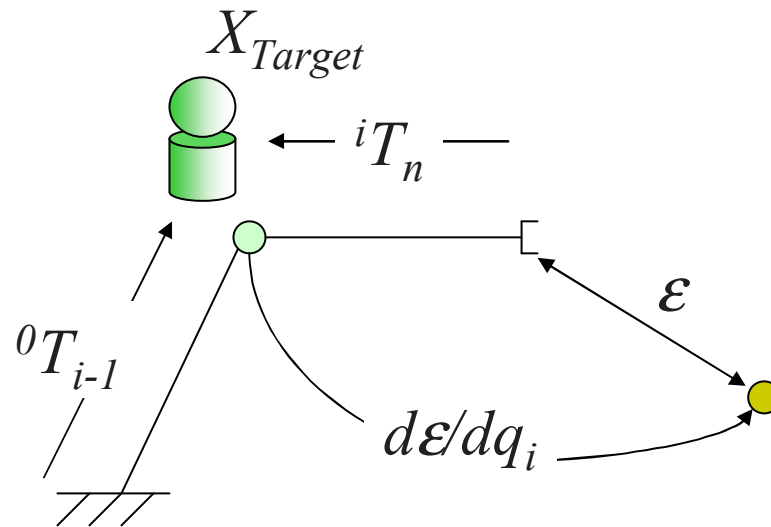
---

# Architecture distribuée

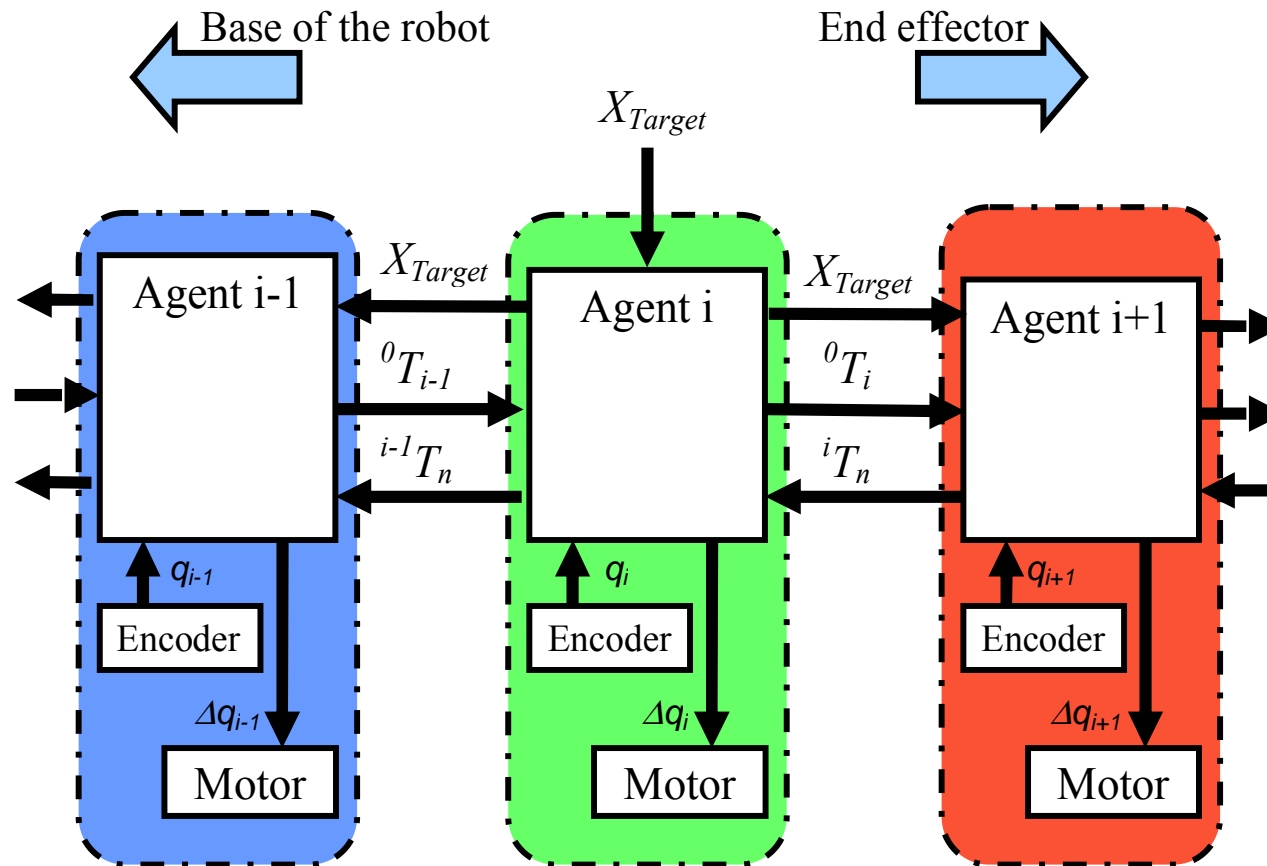


- La position de la cible est connue
- Chaque agent agit indépendamment
- Les communications sont locales

# Systeme equivalent



# Vue générale





# Comportement



- Descente du gradient

$$\Delta q_i(t) = -\alpha_i \cdot \frac{d\varepsilon}{dq_i}$$

$$\frac{d\varepsilon}{dq_i} = \frac{(x_{T\text{arget}} - x_n) \cdot \frac{dx_n}{dq_i} + (y_{T\text{arget}} - y_n) \cdot \frac{dy_n}{dq_i} + (z_{T\text{arget}} - z_n) \cdot \frac{dz_n}{dq_i}}{\sqrt{(x_n - x_{T\text{arget}})^2 + (y_n - y_{T\text{arget}})^2 + (z_n - z_{T\text{arget}})^2}}$$

# Algorithm



## Algorithm **AgentBehavior**

input :  ${}^0T_{i-1}$ ,  ${}^iT_n$ ,  $P_{\text{target}}$ ,  $q_i$

output :  $\Delta q_i$ ,  ${}^{i-1}T_n$ ,  ${}^0T_i$

At each time step :

Compute :  ${}^{i-1}T_i$  and  $\frac{d{}^{i-1}T_i}{dq_i}$

Compute :  $\frac{dP_n}{dq_i}$  and  $\frac{d\varepsilon}{dq_i}$

Update :  ${}^0T_i = {}^0T_{i-1} \cdot {}^{i-1}T_i$

Update :  ${}^{i-1}T_n = {}^{i-1}T_i \cdot {}^iT_n$

Update :  $\Delta q_i = -\alpha_i \cdot \frac{d\alpha\varepsilon}{dq_i}$

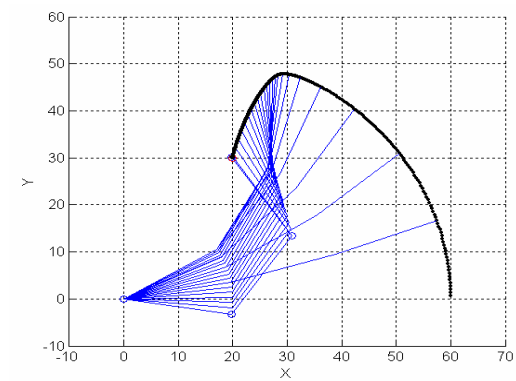
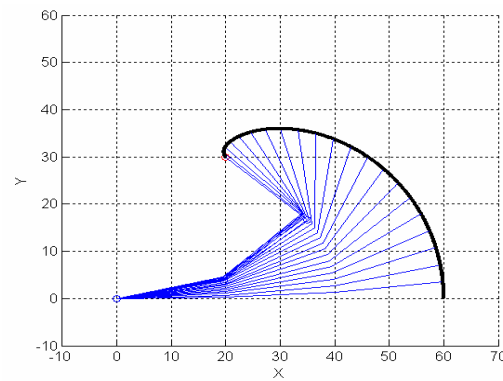
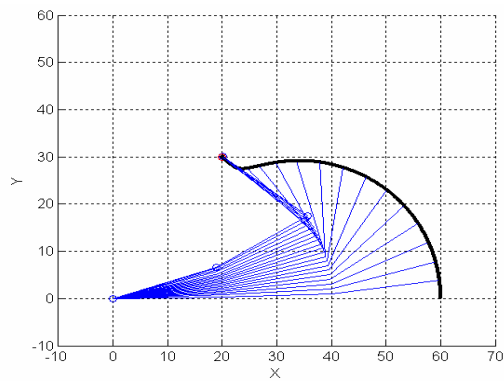
# Expression générale

---



$$\begin{bmatrix} q_1 \\ q_2 \\ q_n \end{bmatrix} = \begin{bmatrix} q_1 \\ q_2 \\ q_n \end{bmatrix} + [\alpha_1 \quad \alpha_2 \quad \alpha_n] \cdot \begin{bmatrix} \frac{\Delta \varepsilon}{\Delta q_1} \\ \frac{\Delta \varepsilon}{\Delta q_2} \\ \frac{\Delta \varepsilon}{\Delta q_3} \end{bmatrix}$$

# Influence des coefficients

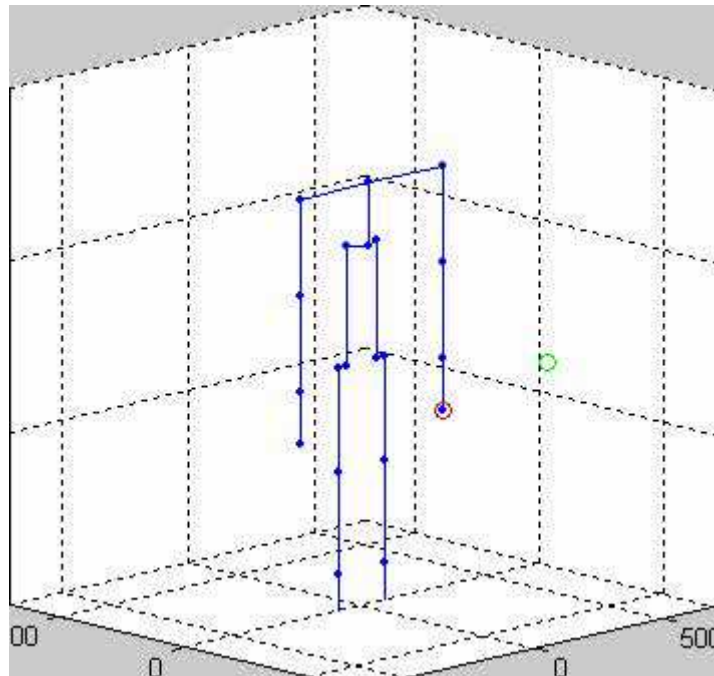


- Algorithme évolutionniste [P. Lucidarme, 2008]

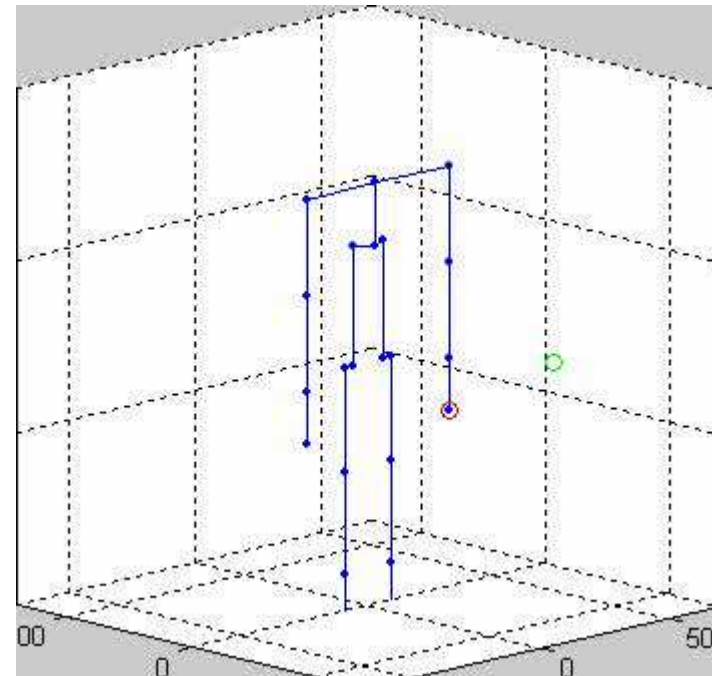
# Tolérance aux pannes



Fonctionnement normal



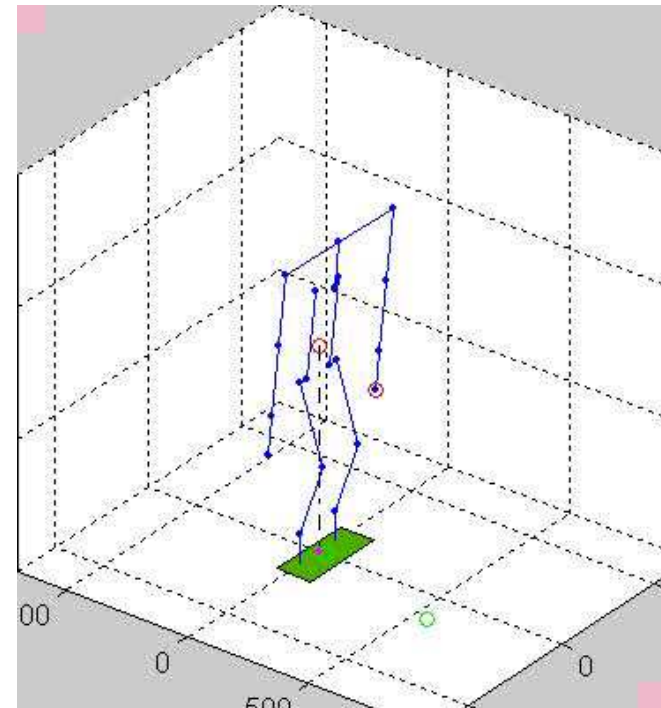
Epaule bloquée



# Stabilité



- Garantir que la projection du CdG reste dans le polygone
- Architecture identique
- Minimiser la distance
  - Le centre du polygone
  - La projection du CdG



# Multi-objectif

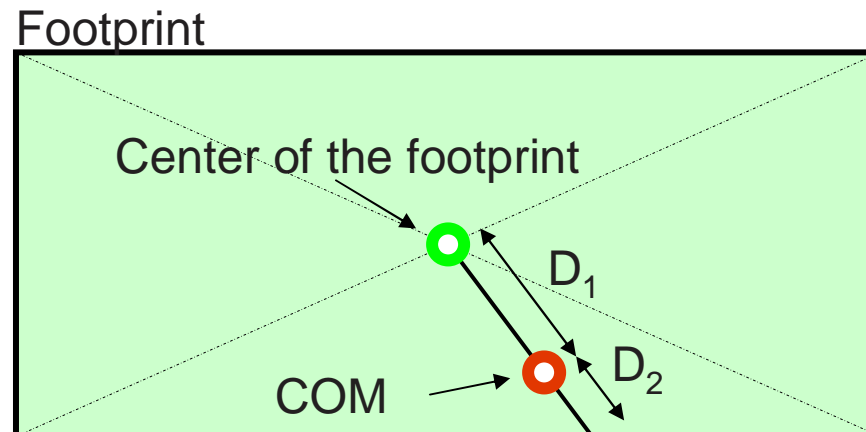


$$\Delta q_i = -\gamma \cdot \alpha_i^{Target} \cdot \frac{d\epsilon_{Target}}{dq_i} - (1 - \gamma) \cdot \alpha_i^{COM} \cdot \frac{d\epsilon_{COM}}{dq_i}$$

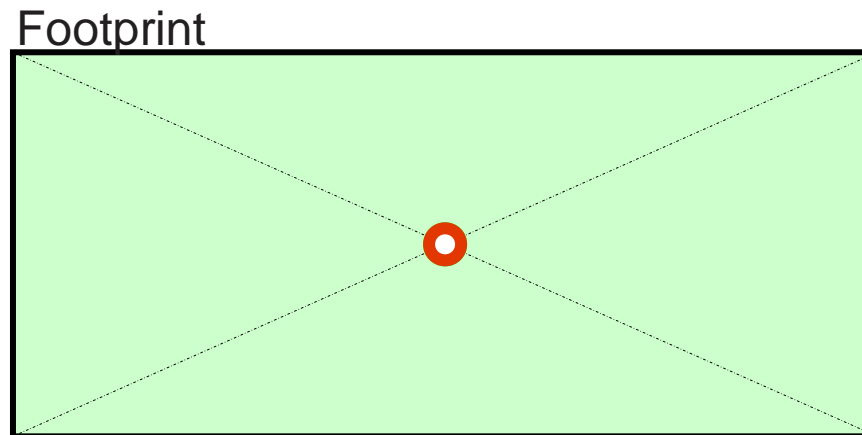
avec  $\gamma = \frac{D_2}{D_1 + D_2}$

$D_1$  : distance entre la projection du CdG et le centre de l'empreinte

$D_2$  : distance entre la projection du CdG et l'arrête la plus proche du polygone



# Stabilité

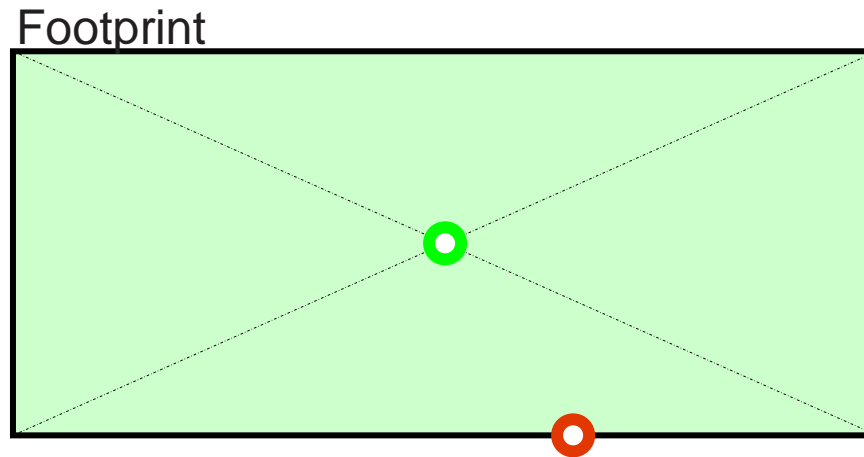


$$\gamma = \frac{D_2}{D_1 + D_2} = 1$$

$$\Delta q_i = -\gamma \cdot \alpha_i^{Target} \cdot \frac{d\varepsilon_{Target}}{dq_i} - (1 - \gamma) \cdot \alpha_i^{COM} \cdot \frac{d\varepsilon_{COM}}{dq_i} = \alpha_i^{Target} \cdot \frac{d\varepsilon_{Target}}{dq_i}$$



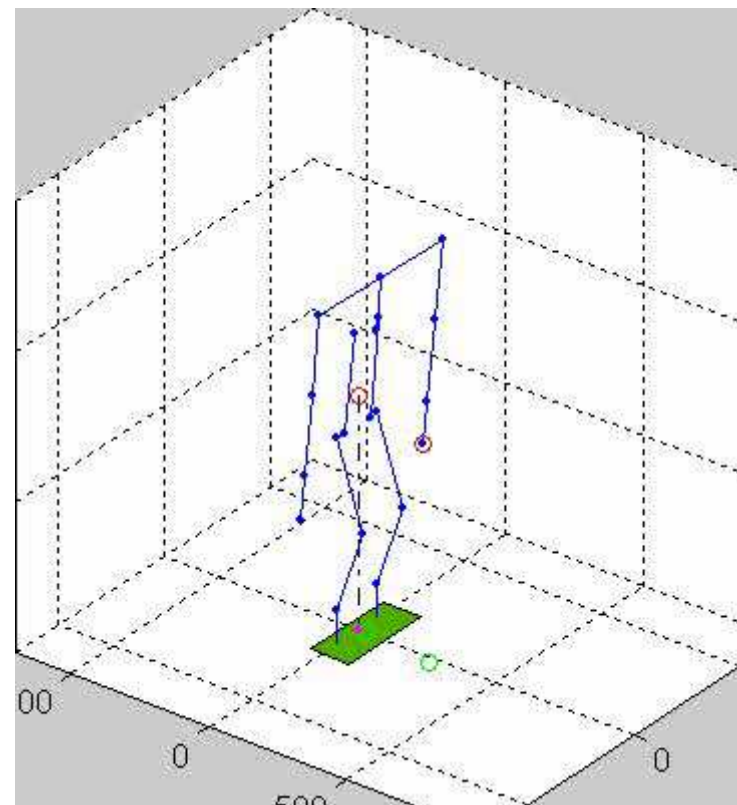
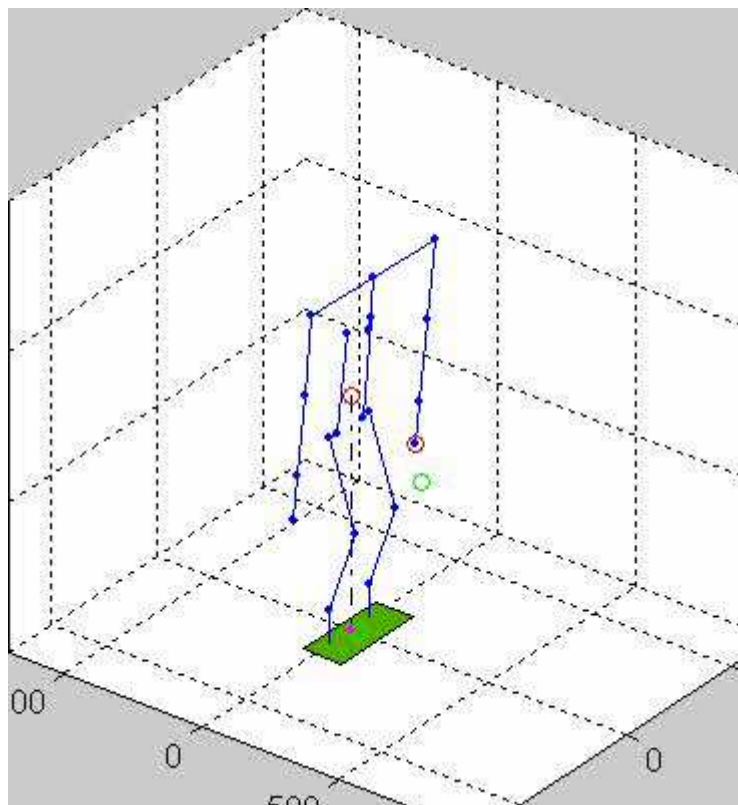
# Stabilité



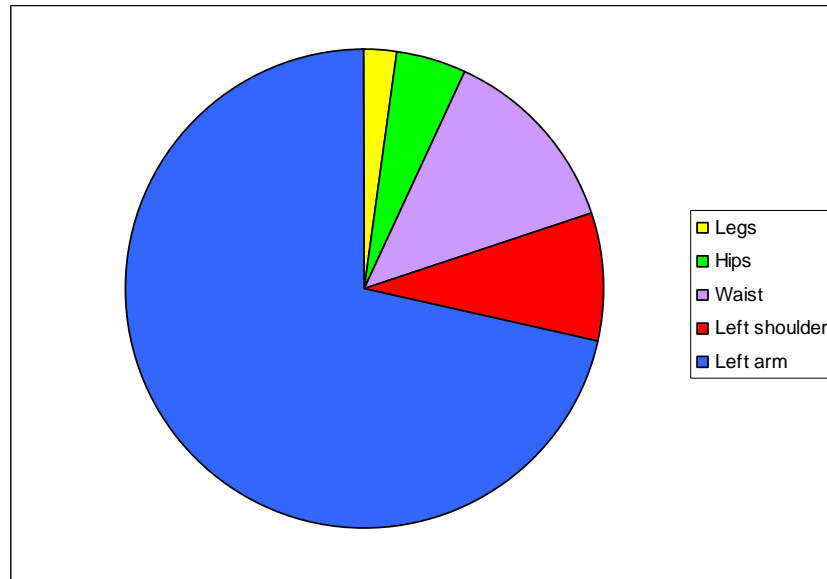
$$\gamma = \frac{D_2}{D_1 + D_2} = 0$$

$$\Delta q_i = -\gamma \cdot \alpha_i^{Target} \cdot \frac{d\varepsilon_{Target}}{dq_i} - (1 - \gamma) \cdot \alpha_i^{COM} \cdot \frac{d\varepsilon_{COM}}{dq_i} = \alpha_i^{COM} \cdot \frac{d\varepsilon_{COM}}{dq_i}$$

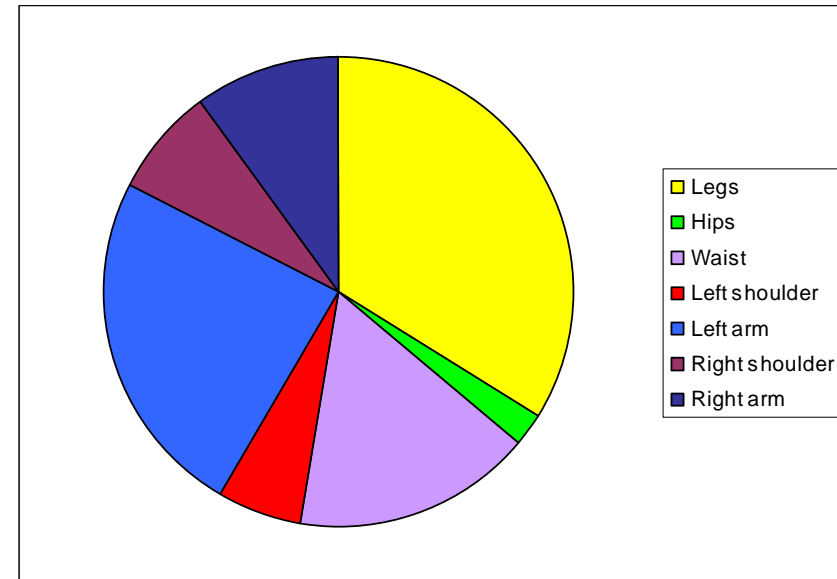
# Stabilité



# Résultats



Ralliement de cible



Stabilité

# Conclusion

---



- **Avantages**
  - Architecture distribuée
  - Robots redondants
  - Tolérante aux pannes
  - Temps de calcul
- **Inconvénients**
  - Existence de minima locaux
  - Réglage des coefficients

# Perspectives



- Gestion de la vitesse de déplacement
- Suivi de trajectoire
- Implémentation
  - Robot humanoïde
  - Gestion des collisions
  - Robotique reconfigurable

